

สารบัญ

	หน้า
กิตติกรรมประกาศ	ค
บทคัดย่อภาษาไทย	ง
บทคัดย่อภาษาอังกฤษ	จ
สารบัญตาราง	ฉ
สารบัญภาพประกอบ	ช
สัญลักษณ์และอักษรย่อ	ญ
บทที่ 1 บทนำ	
1.1 ปัญหาและที่มาของโครงการ	1
1.2 สรุปสาระที่สำคัญของเอกสารที่เกี่ยวข้อง	3
1.3 วัตถุประสงค์ของการศึกษา	6
1.4 ขอบเขตของการวิจัย	6
1.5 ประโยชน์ที่ได้รับจากการศึกษา	6
บทที่ 2 หลักการและทฤษฎี	
2.1 ข้อมูลของขยะในทั่วประเทศ	7
2.2 เทคโนโลยีไฟโรไลซิส	9
2.3 การวิเคราะห์แบบเอ็กแซม	
2.3.1 การวิเคราะห์เอ็กเซอร์จี	15
2.3.2 การวิเคราะห์พลังงาน	20
2.3.3 การวิเคราะห์มวล	21
2.3.4 การวิเคราะห์ต้นทุน	21
บทที่ 3 วิธีการศึกษาวิจัย	
3.1 ลักษณะของเชื้อเพลิง	23
3.2 อุปกรณ์การทดสอบ	25
3.3 อุปกรณ์ประกอบและเครื่องมือวัด	28

สารบัญ(ต่อ)

	หน้า
3.4 ขั้นตอนการดำเนินการทดสอบ	28
3.4.1 วิธีการศึกษา	29
3.4.2 วิธีการทดลอง	29
3.4.3 ขั้นตอนการทดสอบ	29
3.4.4 การเก็บศึกษาข้อมูล	29
3.4 การวิเคราะห์ข้อมูล	30
บทที่ 4 ผลการทดลอง และอภิปรายผล	
4.1 เตาปฏิกรณ์ไพโรไลซิส	32
4.2 ผลของเชื้อเพลิง	36
4.3 ผลของอุณหภูมิ	
4.3.1 ผลเตาปฏิกรณ์ไพโรไลซิส	40
4.3.2 ผลของการเกิดก๊าซ	48
4.3.3 ผลขององค์ประกอบของก๊าซ	50
4.3.4 ค่าความจำเพาะของก๊าซไพโรไลซิส	55
4.3.5 ปริมาณน้ำมันดิน	57
4.3.6 ปริมาณถ่านชาร์	58
4.4 ผลการสมดุลด้านมวล	59
4.5 ผลการสมดุลด้านพลังงาน	60
4.6 ผลการสมดุลด้านเอนทัลปี	61
บทที่ 5 สรุปผลและข้อเสนอแนะ	
5.1 สรุปผลการศึกษา	63
5.2 ปัญหาและข้อเสนอแนะ	64
บรรณานุกรม	65

สารบัญ(ต่อ)

หน้า

ภาคผนวก

ภาคผนวก ก. ข้อมูลปริมาณขยะมูลฝอยชุมชนทั่วประเทศ	69
ภาคผนวก ข. ข้อมูลการวัดอุณหภูมิเตาปฏิกรณ์	82
ภาคผนวก ค. ข้อมูลการวิเคราะห์องค์ประกอบของก๊าซ	95
ภาคผนวก ง. โปรแกรมการวิเคราะห์แบบเอ็กเซม	147

ประวัติผู้เขียน

ลิขสิทธิ์มหาวิทยาลัยเชียงใหม่
Copyright© by Chiang Mai University
All rights reserved

สารบัญตาราง

ตาราง	หน้า	
1.1	สรุปปริมาณขยะมูลฝอยที่เกิดขึ้นในแต่ละภาคและจังหวัดที่เกิดมากที่สุด ของประเทศไทย พ.ศ 2545	1
1.2	ผลผลิตไพโรไลซิสขยะชุมชนใน Pyroprobe 1000	4
2.1	สรุปองค์ประกอบของขยะมูลฝอยและปริมาณมากที่สุดและน้อยที่สุดที่เกิดขึ้น ในจังหวัดเชียงใหม่	7
2.2	การวิเคราะห์ Primary และ Ultimate ของวัสดุคืบ	8
2.3	ส่วนประกอบของก๊าซที่เกิดขึ้นจากขบวนการไพโรไลซิส	15
3.1	ลักษณะของเชื้อเพลิงที่ใช้ทดสอบ	23
3.2	สัดส่วนของเชื้อเพลิงในการทดลอง	29
4.1	การวิเคราะห์ส่วนประกอบของตัวอย่างเริ่มต้นและกากที่เหลือของเชื้อเพลิงแข็ง ที่อุณหภูมิ 500 องศาเซลเซียส	37
4.2	ส่วนประกอบของก๊าซที่เกิดจากเชื้อเพลิงแต่ละชนิดที่อุณหภูมิ 500 องศาเซลเซียส	37
4.3	ส่วนประกอบของก๊าซที่เกิดจากเชื้อเพลิงแต่ละชนิดที่อุณหภูมิ 400 องศาเซลเซียส	52
4.4	ส่วนประกอบของก๊าซที่เกิดจากเชื้อเพลิงแต่ละชนิดที่อุณหภูมิ 600 องศาเซลเซียส	52
4.5	ส่วนประกอบของก๊าซที่เกิดจากเชื้อเพลิงแต่ละชนิดที่อุณหภูมิ 700 องศาเซลเซียส	53
4.6	ปริมาณของผลิตภัณฑ์จากจากไพโรไลซิสพลาสติกเหลือใช้ Demirbas (2004)	54
4.7	สมการสมดุลมวลของเชื้อเพลิงแข็งในกระบวนการไพโรไลซิส	57
4.8	สมการทำนายอัตราเกิดผลิตภัณฑ์	59
4.9	แสดงการสมดุลด้านพลังงานของเชื้อเพลิง	60
4.10	แสดงการสมดุลด้านเอนทัลปีของเชื้อเพลิง	61

สารบัญภาพประกอบ

หน้า

รูป

2.1	แผนภูมิการเกิดเชื้อเพลิงแข็ง	11
2.2	แผนภูมิของขั้นตอนการระเหยของไอน้ำและการให้ความร้อนแก่นุภาค	12
2.3	แผนภูมิกระบวนการเกิดปฏิกิริยาภายในอนุภาค	13
2.4	รูปแบบจำลองกระบวนการเกิดไฟโรไลซิสและการเผาไหม้โดย Shafizadeh	14
3.1	เตาปฏิกรณ์ไฟโรไลเซอร์	24
3.2	หัวเผาในเตาปฏิกรณ์	24
3.3	เครื่องวัดองค์ประกอบก๊าซ ยี่ห้อ SHIMADZU รุ่น GC-8A	25
3.4	เครื่องชั่งน้ำหนักแบบละเอียด	25
3.5	สายเทอร์โมคัพเปิล	26
3.6	หัวเทอร์คัพโมคัพเปิล	26
3.7	เครื่องบันทึกข้อมูล ยี่ห้อ DaqPRO	27
3.8	ชุดวัดความดันก๊าซประกอบด้วยเครื่องอ่านค่าความดัน ยี่ห้อ Testo รุ่น 447	27
3.9	แบบลักษณะเตาทดสอบขนาดเล็ก	28
4.1	ลักษณะของควันของการเกิดปฏิกิริยาไฟโรไลซิส	33
4.2	ลักษณะของการจุดติดไฟของการเกิดปฏิกิริยาไฟโรไลซิส	33
4.3	ลักษณะของน้ำมันดิน	33
4.4	ลักษณะของการถ่านชาร์	33
4.5	ลักษณะของเชื้อเพลิงแข็งเกิดปฏิกิริยาไฟโรไลซิส	34
4.6	ควันช่วงการก่อเกิดปฏิกิริยาไฟโรไลซิส	34
4.7	ควันช่วงการเกิดปฏิกิริยาไฟโรไลซิส	34
4.8	ควันช่วงการเกิดถ่านชาร์	34
4.9	การเกิดปฏิกิริยาไฟโรไลซิสของ ขยะผสม	35
4.10	การจุดติดไฟของการเกิดปฏิกิริยาไฟโรไลซิสของ ขยะผสม	35

สารบัญภาพประกอบ (ต่อ)

รูป	หน้า
4.11 การเกิดปฏิกิริยาไฟโรไลซิสของใบไม้ผสมเกลือใช้ช่วงอุณหภูมิ 400 องศาเซลเซียส	35
4.12 การจุดติดไฟของปฏิกิริยาไฟโรไลซิสของใบไม้ผสมเกลือใช้ช่วงอุณหภูมิ 400 องศาเซลเซียส	35
4.13 อัตราส่วนของผลต่างเศษส่วนจากปฏิกิริยาไฟโรไลซิส	38
4.14 ผลรวมการเกิดไฮโดรคาร์บอนจากเชื้อเพลิงแต่ละชนิด	38
4.15. แสดงผลรวมการเกิดก๊าซ CO+CO ₂ ของเชื้อเพลิงแต่ละชนิด	39
4.16 ผลรวมการเกิดก๊าซ N ₂ ของเชื้อเพลิงแต่ละชนิดที่ 500 องศาเซลเซียส	39
4.17 รูปร่างอุณหภูมิการไฟโรไลซิสกระดาษผสมเกลือใช้ที่อุณหภูมิ 400 องศาเซลเซียส	41
4.18 รูปร่างอุณหภูมิการไฟโรไลซิสกระดาษผสมเกลือใช้ที่อุณหภูมิ 500 องศาเซลเซียส	41
4.19 รูปร่างอุณหภูมิการไฟโรไลซิสกระดาษผสมเกลือใช้ที่อุณหภูมิ 600 องศาเซลเซียส	41
4.20 รูปร่างอุณหภูมิการไฟโรไลซิสกระดาษผสมเกลือใช้ที่อุณหภูมิ 700 องศาเซลเซียส	41
4.21. รูปร่างอุณหภูมิการไฟโรไลซิสใบไม้ผสมเกลือใช้ที่อุณหภูมิ 400 องศาเซลเซียส	41
4.22 รูปร่างอุณหภูมิการไฟโรไลซิสใบไม้ผสมเกลือใช้ที่อุณหภูมิ 500 องศาเซลเซียส	43
4.23 รูปร่างอุณหภูมิการไฟโรไลซิสใบไม้ผสมเกลือใช้ที่อุณหภูมิ 600 องศาเซลเซียส	43
4.24 กราฟรูปร่างอุณหภูมิการไฟโรไลซิสใบไม้ผสมเกลือใช้ที่อุณหภูมิ 700 องศาเซลเซียส	43
4.25 รูปร่างอุณหภูมิการไฟโรไลซิส ขยะผสมที่อุณหภูมิ 400 องศาเซลเซียส	45

สารบัญภาพประกอบ (ต่อ)

รูป	หน้า	
4.26	รูปร่างอนุกรมการไฟโรไลซิส ขยะผสมที่อุณหภูมิ 500 องศาเซลเซียส	45
4.27	รูปร่างอนุกรมการไฟโรไลซิส ขยะผสมที่อุณหภูมิ 600 องศาเซลเซียส	45
4.28	รูปร่างอนุกรมการไฟโรไลซิส ขยะผสมที่อุณหภูมิ 700 องศาเซลเซียส	45
4.49	อัตราส่วนของเชื้อเพลิงจากการเปลี่ยนแปลงอุณหภูมิไฟโรไลซิส	49
4.30	ปริมาณก๊าซจากการไฟโรไลซิสเชื้อเพลิงแข็ง	49
4.31	องค์ประกอบของก๊าซของการไฟโรไลซิสกระดาษผสมเหลือใช้	50
4.32	องค์ประกอบของก๊าซของการไฟโรไลซิสใบไม้ผสมเหลือใช้	51
4.33	องค์ประกอบของก๊าซของการไฟโรไลซิสขยะผสม	51
4.34	ปริมาณการสลายตัวของผลิตภัณฑ์ไฟโรไลติกจากพลาสติกเหลือใช้	54
4.35	ค่าความร้อนของก๊าซของแต่ละอุณหภูมิไฟโรไลซิส	55
4.36	ค่าเอ็กเซอร์จีของก๊าซแต่ละอุณหภูมิไฟโรไลซิส	56
4.37	ปริมาณการเกิดน้ำมันดินของอนุกรมไฟโรไลซิส	57
4.38	ปริมาณการถ่านคาร์บอนของอนุกรมไฟโรไลซิส	58

อักษรย่อและสัญลักษณ์

สัญลักษณ์	ความหมาย	หน่วย
\dot{C}_e	ราคาผลิตภัณฑ์ที่ออกมาจากระบบ	บาท/MJ
\dot{C}_i	ราคาของวัตถุดิบที่ใส่เข้าไปในระบบ	บาท/MJ
\dot{C}_q	ราคาของค่าความร้อนภายในระบบ	บาท/MJ
\dot{C}_w	ราคาของงานที่ใส่เข้าไปในงานของระบบ	บาท/MJ
E^{CH}	เอ็กเซอร์จีเคมี(chemical exergy)	MJ
E^{KN}	เอ็กเซอร์จีจลน์(kinetic exergy)	MJ
E^{PH}	เอ็กเซอร์จีกายภาพ(physical exergy)	MJ
E^{PT}	เอ็กเซอร์จีศักย์(potential exergy)	MJ
$(E_x)_{o,d}$	พลังงานที่ย้อนสูญเสียโดยเปล่าประโยชน์ที่เกิดขึ้นในระบบ	MJ
H	ค่าเอนทาลปีจำเพาะ	kJ/kg
\dot{Q}_j	อัตราการการถ่ายเทความร้อนที่ระบบในสิ่งล้อมรอบ ปริมาตรควบคุม	kJ.kg ⁻¹
T	อุณหภูมิ	K
T_o	อุณหภูมิ ที่ 25 องศาเซลเซียส(298 K)	K
S	ค่าเอนโทรปีจำเพาะ	kJ.kg ⁻¹ .K
S_o	เอนโทรปีที่ dead state	kJ.kmol ⁻¹ .K
U	พลังงานภายในจุดที่กำหนด(Internal energy)	kJ
U_o	พลังงานภายในที่ dead state	kJ.kmol ⁻¹
V	ปริมาตรจุดที่กำหนด(Volume)	m ³
v_o	ความเร็วของก๊าซ	m/s
Z	ความสูง	mater

ตัวยก

CH

chemical

KN

kinetic

PH

physical

PT

potential

ตัวห้อย

e

ทางออกหรือออกจากระบบ

i

ทางเข้าหรือเข้าระบบ

o

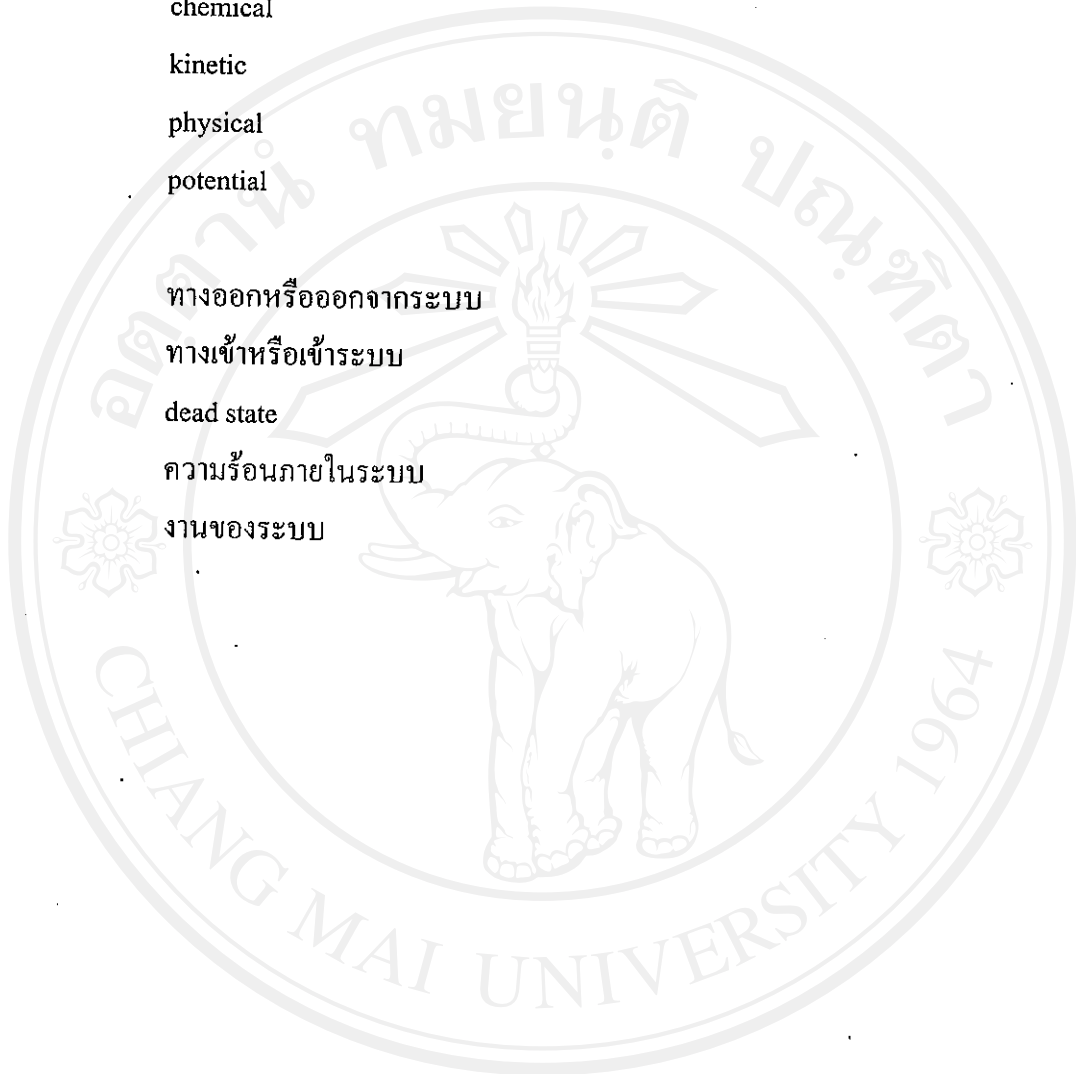
dead state

q

ความร้อนภายในระบบ

w

งานของระบบ



ลิขสิทธิ์มหาวิทยาลัยเชียงใหม่

Copyright© by Chiang Mai University

All rights reserved